

УДК 532.517.3

## ВОЛНОВОЕ ТЕЧЕНИЕ ЖИДКОЙ ПЛЕНКИ СОВМЕСТНО С ПОТОКОМ ГАЗА

А. А. ТОЧИГИН

(Иваново)

Волновое течение тонкого слоя вязкой жидкости совместно с газом рассмотрено в линейной постановке в [1, 2]. В данной работе задача о волновом течении жидкой пленки совместно с газовым потоком решается как нелинейная. На этой основе получены зависимости для расчетов параметров пленки и гидродинамических величин.

1. По вертикальной поверхности движется тонкий слой вязкой жидкости, взаимодействуя через поверхность раздела с потоком газа. Направим ось  $x$  вдоль стенки вниз, ось  $y$  — перпендикулярно стенке в сторону жидкости. Пусть  $y = a(x, t)$  — уравнение поверхности раздела, а  $a_0$  — средняя толщина жидкого слоя. Будем считать длину волны  $\lambda$  значительно больше средней толщины пленки ( $\lambda \gg a_0$ ).

В этих условиях движение жидкой пленки описывается уравнениями Навье — Стокса для пограничного слоя, неразрывности и материального баланса

$$\frac{\partial u_x}{\partial t} + u_x \frac{\partial u_x}{\partial x} + u_y \frac{\partial u_x}{\partial y} = -\frac{1}{\rho} \frac{\partial p}{\partial x} + g + \nu \frac{\partial^2 u_x}{\partial y^2} \quad (1.1)$$

$$\frac{\partial u_x}{\partial x} + \frac{\partial u_y}{\partial y} = 0, \quad \frac{\partial a}{\partial x} + \frac{\partial a}{\partial t} = 0, \quad u = \frac{1}{a} \int_0^a u_x dy \quad (1.2)$$

при следующих граничных условиях:

$$u_x = u_y = 0 \quad (y = 0) \quad (1.3)$$

$$p = -\sigma \frac{\partial^2 a}{\partial x^2} + p_0, \quad \tau_1 = \pm \tau \quad (y=a) \quad (1.4)$$

Здесь  $p$ ,  $p_0$  — давления в жидкости и газе,  $\tau_1$ ,  $\tau$  — касательные напряжения на поверхности раздела со стороны жидкости и газа,  $u$  — средняя в сечении скорость,  $\rho$ ,  $\sigma$  — плотность и коэффициент поверхностного натяжения. Граничное условие (1.3) объясняется прилипанием жидкости к стенке, а (1.4) вытекает из соотношений на поверхности раздела двух жидкостей [3] при  $\lambda \gg a_0$ .

Представим переменную толщину слоя жидкости в виде

$$a = a_0(1 + \varphi) \quad (1.5)$$

где  $\varphi(x, t)$  — возмущение поверхности раздела, вызванное волнообразованием. В случае установившегося волнового режима, когда волны перемещаются по поверхности раздела с постоянной скоростью  $c$ ,  $\varphi$  и все зависящие от нее величины будут функцией одной обобщенной координаты  $x - ct$ . Тогда

$$-\frac{\partial a}{\partial t} = c \frac{\partial a}{\partial x}, \quad -\frac{\partial u_x}{\partial t} = \frac{\partial u_x}{\partial x} \quad (1.6)$$

При установившемся и периодическом по  $x$  движении волн решение задачи можно представить в виде функции переменной

$$\beta = \frac{n}{a_0}(x - ct), \quad n = 2\pi a_0/\lambda$$

где  $\lambda$  — длина волны.

При помощи уравнения неразрывности (1.2), граничных условий (1.3), (1.4) и второго уравнения (1.6) преобразуем уравнение движения (1.1) к виду

$$(u_x - c) \frac{\partial u_x}{\partial x} - \frac{\partial u_x}{\partial y} \int \frac{\partial u_x}{\partial x} dy = \frac{\sigma}{\rho} \frac{\partial^3 a}{\partial x^3} + g + v \frac{\partial^2 u_x}{\partial y^2} \quad (1.7)$$

Решая задачу (1.1) ÷ (1.4) для плоского ламинарного течения жидкости, найдем

$$u_x = 3u(x, t) \left( \frac{y}{a} - \frac{y^2}{2a^2} \right) - \frac{\tau a}{4\mu} \left( \frac{2y}{a} - \frac{3y^2}{a^2} \right) \quad (1.8)$$

Здесь принято, что  $u_x = 0$  при  $y = 0$  и  $\mu \partial u_x / \partial y = \tau$  при  $y = a$ .

Используя  $u_x$  из (1.8), проинтегрируем уравнение (1.7) по  $y$  от 0 до  $a$ . После вычислений придем к уравнению

$$\begin{aligned} \frac{\sigma}{\rho} \frac{\partial^3 a}{\partial x^3} + g + v \left( \frac{3\tau}{2\mu a} - \frac{3u}{a^2} \right) - \left( 0.9u - \frac{\tau a}{5\mu} - c \right) \frac{\partial u}{\partial x} + \\ + \frac{1}{20a} \left[ (3u - 5c) \left( 2u + \frac{\tau a}{\mu} \right) - \frac{\tau^2 a^2}{2\mu^2} \right] \frac{\partial a}{\partial x} = 0 \end{aligned} \quad (1.9)$$

которое используем вместо (1.7) для решения основной задачи.

С помощью (1.6) проинтегрируем уравнение материального баланса (1.2), затем, учитывая (1.5) найдем

$$u = u_0(1 + \varphi z)(1 + \varphi)^{-1}, \quad Q = a_0 u_0. \quad (1.10)$$

Здесь  $u_0$  — средняя скорость при волновом течении пленки в том сечении, где ее толщина равняется  $a_0$ ,  $z = cu_0^{-1}$ . В уравнении (1.9) перейдем от  $x$  к переменной  $\beta$ , подставим в него значения  $u$  из (1.10),  $a$  из (1.5) и, вводя безразмерные параметры

$$\begin{aligned} T = \frac{\tau a_0^2}{\mu Q}, \quad R = \frac{3u_0 a_0}{v}, \quad R_0 = \frac{g a_0^3}{v^2}, \quad \gamma = \frac{\sigma}{\rho} (v^4 g)^{-1/3} \\ m = 5z^2 - 12z + 6, \end{aligned}$$

получим уравнение движения пленки

$$(1 + \varphi)^3 \varphi''' + [A - B\varphi(2 + \varphi) + C(1 + \varphi)^2 - D(1 + \varphi)^3 - E(1 + \varphi)^4] \varphi' + [F(3 + \varphi) + G] \varphi^2 + \varphi H + K = 0 \quad (1.11)$$

$$A = \frac{mR^2}{45\gamma R_0^{1/3} n^2}, \quad B = \frac{z^2 A}{m}, \quad C = \frac{TA(z - 1)}{4m}$$

$$D = \frac{zTA}{2m}, \quad E = \frac{AT^2}{8m}, \quad F = \frac{R_0^{2/3}}{\gamma n^3}$$

$$G = \frac{TR}{2\gamma n^3 R_0^{1/3}}, \quad H = \frac{3R_0 - (z - T)R}{\gamma R_0^{1/3} n^3}, \quad K = \frac{R_0 - R(1 - 0.5T)}{n^3 \gamma R_0^{1/3}}$$

В случае, когда скорость газа равна нулю ( $\tau = 0$ ,  $T = 0$ ), уравнение (1.11) преобразуется в уравнение течения жидкой пленки в неподвижной газовой среде, полученное в работах [4] и [5].

2. Решение уравнения (1.11) будем искать в виде ряда Фурье

$$\varphi = \alpha \sin \beta + \alpha^2 (\varphi_{20} \sin 2\beta + \varphi_{21} \cos 2\beta) + \dots \quad (2.1)$$

методом, предложенным в [5]. Идея метода сводится к тому, чтобы после подстановки (2.1) в (1.11) полученное выражение также представить в виде ряда Фурье, после чего коэффициенты ряда приравняются нулю. Чтобы оборвать бесконечную систему уравнений и сделать ее замкнутой, ограничимся рассмотрением коэффициентов первых гармоник.

Приравнявая нулю коэффициенты первых двух гармоник и свободный член, получим

$$2K + \alpha^2(3F + G) = 0 \quad (2.2)$$

$$\begin{aligned} 2H\varphi_{21} - 4(4 - A - C + D + E)\varphi_{20} - (3F + G) &= 0 \\ 2H\varphi_{20} + 4(4 - A - C + D + E)\varphi_{21} - (3 + 2B - 2C + 3D + 4E) &= 0 \\ 4H\alpha^{-2} + 3F + 2(21 + 2B - 2C + 3D + 4E)\varphi_{20} - 4(3F + G)\varphi_{21} &= 0 \\ 4\alpha^{-2}(1 - A - C + D + E) - 2(21 + 2B - 2C + 3D + 4E)\varphi_{21} - \\ - 4(3F + G)\varphi_{20} + (3 + B - C + 3D + 6E) &= 0 \end{aligned}$$

Введем параметры

$$x = RR_0^{-1}, \quad t = 3 - z$$

и будем считать  $T$ ,  $t$  и  $A$  заданными, а  $x$  и  $F$  неизвестными. Из первого уравнения (2.2) найдем

$$\alpha^2 = [x(2 - T) - 2] (3 + 0.5xT)^{-1} \quad (2.3)$$

а из четырех оставшихся уравнений после исключения  $\varphi_{20}$  и  $\varphi_{21}$  получим уравнения для определения  $x$  и  $F$

$$\begin{aligned} x^2 [18 - t(6 + 15T) + T(66 - 28.5T) + 3(2 - T)TBk_2 + \\ + (2 - T)(3 - t - T)Bk_3 - 6T(3 - t - T)Ak_1] + \\ + x[3(134 - 34t - 77T) - 12Ak_1(8 - 3t - 4T) - \\ - Bk_3(12 - 2t - 5T) + 12Bk_2(3 - 2T)] - 6[70 - 16Ak_1 + B(6k_2 - k_3)] = 0 \end{aligned} \quad (2.4)$$

$$\begin{aligned} F^2 \left\{ 0.5(6 + xT)^2 - [3 - x(3 - t - T)] \times \right. \\ \left. \times \left[ 3 + \frac{2(6 + xT)[3 - x(3 - T - t)]}{x(2 - T) - 2} \right] \right\} - (3 + 2Bk_2)(21 + 2Bk_2) + \\ + 2(4 - Ak_1)(3 + Bk_3) + 4(4 - Ak_1)(1 - Ak_1) \frac{6 + xT}{x(2 - T) - 2} = 0 \end{aligned} \quad (2.5)$$

$$\begin{aligned} B = (3 - t)^2 A e^{-1}, \quad k_1 = 1 - 0.25(4 - t + 0.5T) T e^{-1} \\ k_2 = 1 + \frac{T}{4} \frac{7 - 2T + T}{9 - 6T + t^2}, \quad k_3 = 1 + \frac{T}{4} \frac{16 - 5T + 3T}{9 - 6T + t^2} \end{aligned}$$

$$e = 5t^2 - 18t + 15$$

Область существования волнового пленочного течения определяется направлением движения жидкости и газа и значением параметров  $t$ ,  $T$ ,  $x$ ,  $A$ ,  $F$ . Средняя скорость жидкости  $u_0$  и образованные с ее помощью величины  $Q$ ,  $R$ ,  $x$  будут положительными при движении жидкой пленки в положительном направлении, т. е. вниз по стенке, и отрицательными при движении ее вверх. Аналогично квадрат средней скорости газа и касательные напряжения  $\tau$  положительны при движении газа вниз по стенке и отрицательны при его движении вверх. Знак перед  $T$  определяется направлением движения жидкости и газа. При притоке, когда жидкость и газ движутся в одном направлении вниз ( $Q > 0$ ,  $\tau > 0$ ) или вверх ( $Q < 0$ ,  $\tau < 0$ ),  $T > 0$ . При прототоке, т. е. когда газ движется вверх ( $\tau < 0$ ) против направления стека-

ния жидкой пленки ( $Q < 0$ ),  $T < 0$ . Во всех уравнениях данной работы перед этими величинами стоят знаки, соответствующие положительному направлению движения жидкости и газа.

Из анализа уравнений (2.3) — (2.5) определим возможные пределы существования параметров  $T$ ,  $t$ ,  $x$ ,  $A$ ,  $F$  при волновом режиме движения пленки. Поскольку действительные решения данной задачи существуют при  $\alpha \geq 0$ , а по физическому смыслу  $\alpha < 1$ , то на основании (1.14) область существования волнового режима в координатной плоскости  $xT$  лежит между кривыми, уравнение которых

$$x = 2(2 - T)^{-1}, \quad x = 10(4 - 3T)^{-1} \quad (2.6)$$

Кроме того, так как длина волны изменяется от нуля до бесконечности, то всегда  $\infty > F > 0$ . Согласно (2.5) эти предельные значения достигаются на кривых, определяемых уравнениями

$$0.5(6 + xT)^2 - [3 - x(3 - t - T)] \times \\ \times \left[ 3 + \frac{2(6 + xT)[3 - x(3 - t - T)]}{x(2 - T) - 2} \right] = 0 \quad (2.7)$$

$$(3 + 2Bk_2)(21 + 2Bk_2) - 2(4 - Ak_1)(3 + Bk_3) - \\ - 4(4 - Ak_1)(1 - Ak_1)(6 + xT)[x(2 - T) - 2]^{-1} = 0 \quad (2.8)$$

Подставляя значения  $x$  из первого уравнения (2.6) в (2.4), найдем после преобразований  $t = 0.5T$ , последующая подстановка этих значений  $x$  и  $T$  в (2.7) делает его равным нулю. Это означает, что оба условия  $\alpha = 0$  и  $F = \infty$  и координатной плоскости  $xT$  удовлетворяются на одной границе области существования, уравнения которой  $x = 2(2 - T)^{-1}$ , и что волна на этой границе имеет амплитуду, равную нулю, и бесконечно большую длину. Уточним направление изменения  $t$  вблизи этой границы в зависимости от направления движения жидкости и газа. Из условия  $\alpha \geq 0$  в силу (2.3) имеем либо  $x \geq 2(2 - T)^{-1}$  и  $Tx > -6$ , либо  $x \leq 2(2 - T)^{-1}$  и  $Tx < -6$ . При притоке вниз и противоке  $Tx > -6$ , поэтому  $t \geq 0.5T$ .

Из (2.3) — (2.8) следует также, что при притоке вниз пределы изменения  $T$  будут от 0 до 2 и  $x$  — от 1 до  $\infty$ , а при противоке  $T$  изменяется от 0 до  $-\infty$  и  $x$  — от  $\sim 1.4$  до 0.

В плоскости  $At$  область существования периодического решения (1.11) ограничена кривыми, уравнение которых (2.7), (2.8) и  $t = 0.5T$ . Эта область изменяется в зависимости от величины параметра  $T$ . При заданном его значении и любых  $A$  и  $t$ , лежащих внутри данной области, волновой режим существует и может быть рассчитан. А именно по данным  $T$ ,  $A$ ,  $t$  из (2.4) определяется  $x$ , из (2.3), (2.5) —  $\alpha$ ,  $F$ , а остальные параметры рассчитываются по формулам, выведенным из соотношений (1.11)

$$R\gamma^{-3/11} = \left( \frac{45^3 A^3}{x^{1/3} F^2 e^3} \right)^{3/11}, \quad R_0 = \frac{R}{x}, \quad n^3 = \frac{R_0^{2/3}}{\gamma F} \\ a_0 = \frac{R_0^{1/3} \gamma^{2/3}}{g^{1/3}}, \quad c = \frac{(3 - t) R \nu}{3a_0}, \quad \lambda = \frac{2\pi a_0}{n} \quad (2.9)$$

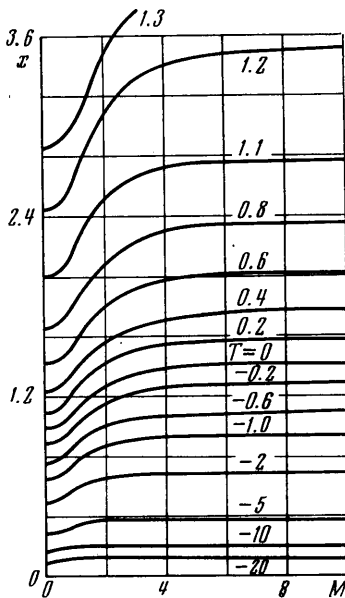
При заданном значении  $T$  для определения функциональной связи между четырьмя физическими параметрами  $t$ ,  $A$ ,  $F$ ,  $x$  имеется два уравнения (2.4), (2.5), т. е. для решения задачи не хватает третьего замыкающего уравнения.

3. Из анализа области существования периодического решения следует, что при данном расходе жидкости в пленке и заданной скорости газа существует бесконечное множество волновых режимов, длины волн которых изменяются от нуля до бесконечности. Однако в опыте при этих условиях за пределами участка стабилизации устанавливается волновой режим с вполне определенными среднестатистическими значениями волновых параметров.

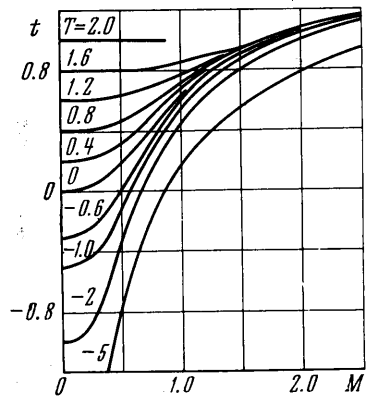
Для решения вопроса о том, какой из всех теоретически возможных режимов может быть реализован, в различных работах делались различные дополнительные предложения. В [1, 6] предполагалось, что реализуются такие волновые режимы, при которых относительная энергия диссипации пленки будет минимальной, а амплитуда волны при этом достигнет некоторого наибольшего значения. В [4] принималось, что имеют место такие волновые режимы, при которых  $A = 1$ . В [5] из всех возможных выбраны оптимальные режимы, в которых при постоянной толщине пленки расход жидкости достигает своего максимального значения и, наоборот, при постоянном расходе толщина пленки минимальна.

Если при фиксированном значении  $T$  в координатной плоскости  $At$  по формулам (2.3)–(2.5), (2.9) построить кривые  $a_0 = \text{const}$ , или  $R_0 = \text{const}$ , то эти кривые будут начинаться от  $t = 0.5T$  и продолжаться до некоторого предельного значения  $t$ . Вдоль каждой из этих кривых значение  $a$  увеличивается от нуля до своего максимального значения, а затем монотонно уменьшается. Поскольку  $a$  и  $R_0$  — функции  $A$  и  $t$ , то точки, в которых  $a$  становится максимальной, определяются уравнением

$$\frac{\partial a}{\partial t} \frac{\partial R_0}{\partial A} - \frac{\partial R_0}{\partial t} \frac{\partial a}{\partial A} = 0 \quad (3.1)$$



Фиг. 1



Фиг. 2

Покажем, что уравнение (3.1) содержит физические предположения, сделанные в работах [5, 6]. В самом деле подстановка  $a$  из (2.3) в (3.1) дает

$$\frac{\partial x}{\partial t} \frac{\partial R_0}{\partial A} - \frac{\partial R_0}{\partial t} \frac{\partial x}{\partial A} = 0 \quad (3.2)$$

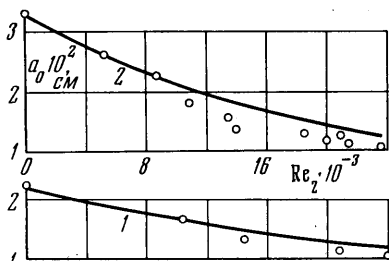
Это означает, что  $a$  и  $x$  при заданном  $R_0$  достигают своего максимального значения на одних и тех же точках кривой (3.1) или (3.2). Из [1] очевидно, что  $x$  — величина, обратно пропорциональная относительной энергии диссипации. Следовательно, в данной работе, как и в [6], из мно-

жества возможных волновых режимов выделяются такие, при которых относительная энергия диссипации пленки минимальна, а амплитуда волны имеет наибольшее значение. Поскольку  $x = RR_0^{-1}$ , то, как и в [5], при данном  $R_0$  параметр  $R$  на кривой (3.1) или (3.2) будет максимальным.

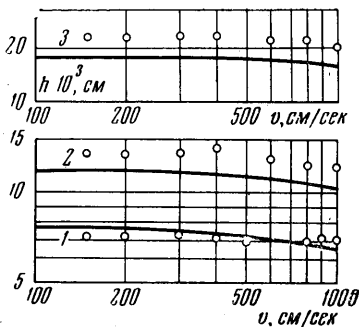
Подставляя  $R_0$ , определенное по первым двум формулам (2.9), в (3.2), получим

$$\frac{A}{F^2} \left( \frac{\partial x}{\partial t} \frac{\partial F^2}{\partial A} - \frac{\partial x}{\partial A} \frac{\partial F^2}{\partial t} \right) - 3 \frac{\partial x}{\partial t} + 6A(9 - 5t)e^{-1} \frac{\partial x}{\partial A} = 0 \quad (3.3)$$

Решение этого уравнения совместно с (2.4) и (2.5) проводилось на ЭВМ методом итерации. При фиксированном значении  $T$  и различных  $t \geq 0.5 T$  (нисходящий пря-



Фиг. 3



Фиг. 4

моток и противоток) по этим уравнениям вычислялись  $A$ ,  $F$ ,  $x$  и далее по первой формуле (2.9) рассчитывался параметр

$$M = 1/3 R \gamma^{-2/11} = Re \gamma^{-3/11} \quad (3.4)$$

где  $Re = Q/\nu$  — критерий Рейнольдса пленки.

На фиг. 1 и фиг. 2 построены зависимости  $x(M, T)$  и  $t(M, T)$ . При всех  $T$  с изменением  $M$  от нуля до некоторого его значения  $x$  изменяется от  $2(2 - T)^{-1}$ , а  $t$  от  $0.5 T$  до тех их значений, которые с дальнейшим ростом  $M$  практически не изменяются.

Обтекание газом волнового профиля жидкой пленки, движущейся в трубе, аналогично обтеканию несжимаемой жидкостью твердой поверхности стенки трубы. Поэтому для определения касательных напряжений на поверхности пленки воспользуемся известной зависимостью

$$\tau = 1/8 \xi v^2 \rho_2 \quad (3.5)$$

где  $v$  — средняя скорость газа,  $\rho_2$  — его плотность и  $\xi$  — коэффициент сопротивления трения, зависящий от критерия Рейнольдса и шероховатости стенки. В данном случае роль выступов шероховатости играет амплитуда волны на поверхности пленки ( $aa_0$ ). Она меняется в зависимости от скорости газа, расхода жидкости в пленке и физических свойств жидкости и газа. Для определения коэффициента сопротивления воспользуемся формулой из [7]. После замены выступов шероховатости амплитудой эта формула будет иметь вид

$$\xi = 0.11 \left( \frac{68}{Re_2} + \frac{2aa_0}{d} \right)^{0.25} \quad (3.6)$$

Здесь  $Re_2$  — критерий Рейнольдса газа и  $d$  — диаметр трубы. Данная формула распространяется на все области турбулентного режима течения.

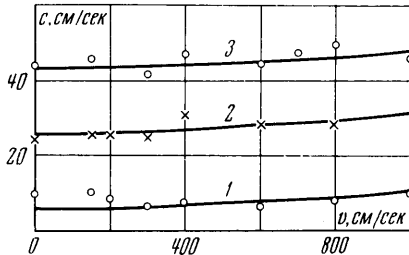
С помощью уравнения (3.5) и выражений для  $T$ ,  $R$ ,  $R_0$  из (1.11) составим соотношение

$$\frac{T x^{2/3}}{\xi} = \frac{3^{2/3}}{8} \frac{\rho_2 v^2}{v^{2/3} \rho g^{2/3} Re^{1/3}} \quad (3.7)$$

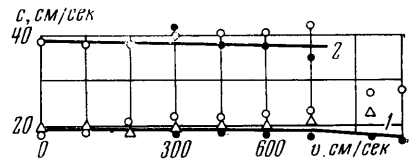
Пользуясь им и графиками фиг. 1, можно по заданным расходу жидкости, скорости газа и физическим свойствам жидкости и газа рассчитать  $T$  и  $x$ . А именно по заданным величинам найдем численное значение правой части уравнения (3.7) и по

(3.4) — значение  $M$ . Затем при этом  $M$  по графикам фиг. 1 методом последовательного приближения подбираются такие значения  $T$  и  $x$ , а по (2.3), (2.9), (3.6) —  $\xi$ , при которых левая часть (3.7) равнялась бы правой. Далее по заданным и найденным величинам с помощью графиков фиг. 2 и формул (2.3), (2.5), (2.9), (3.5), (3.6) могут быть подсчитаны все параметры данного режима течения, т. е.  $\alpha$ ,  $R_0$ ,  $n$ ,  $a_0$ ,  $c$ ,  $\lambda$ ,  $t$ .

Нисходящее движение водяной пленки в прямом токе с воздухом в стеклянной вертикальной трубе диаметром 0,987 см исследовано в [8]. На фиг. 3 эти экспериментальные данные изображены в виде зависимости  $a_0$  от критерия Рейнольдса воздуха  $Re_2$  при значениях критерия Рейнольдса для пленки 35 (кривая 1) и 60 (кри-



Фиг. 5



Фиг. 6

вая 2). Здесь  $Re_2 = v d \nu_2^{-1}$ ,  $\nu_2$  — коэффициент кинематической вязкости воздуха. Превышение теоретическими значениями  $a_0$  экспериментальных при  $Re = 60$  объясняется имевшим место в этих опытах срывом потока воздуха части жидкости с пленки.

В [9] исследовалось нисходящее движение водяной пленки температурой  $\sim 5^\circ \text{C}$  в прямом токе и в противотоке с воздухом в вертикальной стеклянной трубе диаметром 3,45 см. Исследуемые величины определялись в зависимости от скорости воздуха и критерия  $Re_1$  ( $Re_1 = 4 Re$ ). Экспериментальные зависимости амплитуды волны  $h = a a_0$  от  $v$  при  $Re_1 = \text{const}$  для прямого нисходящего течения жидкости и газа (фиг. 4) хорошо совпадают с теоретическими при  $Re_1 = 50$  (кривая 1), а их некоторое расхождение при  $Re_1 = 100$  (кривая 2) и  $Re_1 = 150$  (кривая 3) происходит, вероятно, вследствие увеличения длины участка стабилизации с ростом  $Re_1$ .

При прямом токе нисходящей пленки и газа экспериментальные данные [9] в виде зависимости  $c$  от  $v$  при значениях  $Re_1$ , равных 50, 100, 180, хорошо согласуются с соответствующими теоретическими зависимостями (фиг. 5, кривые 1, 2, 3).

При противотоке  $c$  при  $Re_1 = \text{const}$  зависит не только от  $v$ , но и от расположения сечения, в котором производились замеры, по высоте входного участка [9]. На фиг. 6 экспериментальные данные для различных сечений изображены разными знаками. Они группируются возле соответствующих теоретических кривых 1 ( $Re_1 = 40$ ) и 2 ( $Re_1 = 180$ ).

Поступило 22 XII 1970

#### ЛИТЕРАТУРА

1. Коротаев Ю. П., Точигин А. А. Влияние газового потока на волновое течение тонких слоев вязкой жидкости. Инж.-физ. ж., 1969, т. 17, № 6.
2. Соколов В. Г. Волновые режимы восходящего течения тонкого слоя вязкой жидкости в контакте с газом. Изв. АН СССР, МЖГ, 1969, № 4.
3. Ландау Л. Д., Лифшиц Е. М. Механика сплошных сред. М., Гостехиздат, 1954.
4. Маурин Л. Н., Сорокин В. С. О волновом течении тонких слоев вязкой жидкости. ПМТФ, 1962, № 4.
5. Шкадов В. Я. Волновые режимы течения тонкого слоя вязкой жидкости под действием силы тяжести. Изв. АН СССР, МЖГ, 1967, № 1.
6. Капица П. Л. Волновое течение тонких слоев вязкой жидкости. ЖЭТФ, 1948, т. 18.
7. Альтшуль А. Д., Киселев П. Г. Гидравлика и аэродинамика. М., Стройиздат, 1965.
8. Маркович Э. Э., Ройзман Д. Х., Шербаум В. М. Исследование течений водяных пленок под действием воздушного потока. Изв. вузов, Энергетика, 1969, № 9.
9. Stainhorp F. P., Batt R. S. W. The effect of co-current and counter-current air flow on the wave properties of falling liquid films. Trans. Inst. Chem. Engrs, 1967, vol. 45, pt 372.